

## 波が重畠した時の流れの摩擦応力の変化

京都大学工学部 正員 岩垣 雄一  
 京都大学工学部 正員 浅野 敏之  
 大阪市 正員 中川 政博

1. まえがき 波と流れの共存場におけるエネルギー保存関係については Phillips の研究がよく知られているが、彼の理論展開の中には底面摩擦等によるエネルギー逸散が含まれていない。一方、従来の波と流れの共存場に関する研究は、もっぱら流れによる波の特性の変化に対してのみ関心が払われており、波による流れの特性の変化についてはほとんど研究がなされていない。本研究は、底面摩擦によるエネルギー逸散が波の特性のみならず、流れの特性にどのような影響を与えるかを考察したもので、前者を波高減衰率、後者を平均水面の変化で評価し、理論と実験の両面からこれを解明しようとしたものである。

2. 基礎式 図-1 のように、波がない時の平均水面に  $x_\alpha$  ( $\alpha=1, 2$ ) 座標を、鉛直上方に石軸をとり、共存場での流速  $u$  を次のように表わす。

$$u_\alpha = U_\alpha + u'_\alpha \quad \dots (1)$$

ただし、 $U_\alpha$  は平均流の流速成分、 $u'_\alpha$  は波による変動流速成分。共存場での質量保存式は、 $Z = -d$  より  $Z = d$  まで積分し、波の周期にわたって時間平均操作をした次式で与えられる。

$$\frac{\partial}{\partial Z} P(R+d) + \frac{\partial}{\partial x_\alpha} (M_\alpha + M_\omega) = 0, \quad \tilde{M}_\alpha = \overline{\int_d^3 P U_\alpha dz}, \quad M_\alpha = \overline{\int_d^3 P u'_\alpha dz} \quad \dots (2)$$

共存場での運動量保存式は、 $f_\alpha$  を単位体積当りの作用力とすれば、次式で与えられる。  
 $\frac{\partial}{\partial Z} M_\alpha + \frac{\partial}{\partial x_\beta} (\tilde{U}_\alpha M_\beta + S_{\alpha\beta}) = T_\alpha + R_\alpha, \quad \tilde{M}_\alpha = \overline{\int_d^3 P U_\alpha dz}, \quad \tilde{U}_\alpha = \tilde{M}_\alpha / P(d+r), \quad R_\alpha = \overline{\int_d^3 f_\alpha dz}$   
 $S_{\alpha\beta} = \overline{\int_d^3 P u'_\alpha u'_\beta + P d_{\alpha\beta}} dz + \frac{1}{2} PG(d+r)^2 \delta_{\alpha\beta} - M_\alpha M_\beta / P(d+r), \quad T_\alpha = -PG(d+r) \partial h / \partial x_\alpha \quad \dots (3)$

共存場での全エネルギー保存式は、次式で与えられる。

$$\begin{aligned} & \frac{\partial}{\partial Z} \left\{ \frac{1}{2} \tilde{U}_\alpha \tilde{M}_\alpha + \frac{1}{2} PG(d+r)^2 - \tilde{M}_\alpha^2 / 2P(d+r) + E \right\} + \frac{\partial}{\partial x_\alpha} \left\{ \tilde{M}_\alpha \left( \frac{1}{2} \tilde{U}_\beta^2 + gR \right) - \tilde{U}_\alpha \tilde{M}_\beta^2 / 2P(d+r) \right. \\ & \quad \left. + U_\alpha E + F_\alpha + T_\beta S_{\alpha\beta} \right\} = \int_d^3 f_\alpha u'_\alpha dz, \quad E = \frac{1}{2} P \int_d^3 (u_\alpha^2 + w^2) dz + \frac{1}{2} PG R^2, \quad F_\alpha = P \int_d^3 \left( \frac{1}{2} U_\alpha^2 + g(z-d) + \frac{P}{2} \right) dz \end{aligned} \quad \dots (4)$$

3. 波高減衰率および平均水面の変化 基礎式(2)～(4)で、次のような仮定を設ける。

- ①流れは定常2次元、波動は2次元
- ②風の応力、内部粘性は無視
- ③流れの流速分布は深さ方向に一定
- ④エネルギー、運動量などは微小振幅波で記述
- ⑤波高水深比は小さい
- ⑥流れは漸流
- ⑦底面でのせん断応力と流速は、次式で与える。

$$\tau = \frac{1}{2} P f_{cw} u_m |u|, \quad u = U + u_m \cos \omega t \quad \dots (5)$$

ただし、 $f_{cw}$  は共存場での摩擦係数、 $u_m$  は波の底面水粒子速度の振幅。

また、底面摩擦によるエネルギー逸散は、従来の沿岸流巻き生理論と同様、エネルギー逸散の定常成分が流れの成分に、非定常成分が波の成分に配分されると仮定する。

以上の仮定に基づき、基礎式(2)～(4)を用いて波高水深比  $d/d$  の2次まで考へると、波に対するエネルギー保存式および流れに対するエネルギー保存式が次式のように得られる。

Iwagaki Yuichi, Asano Toshiyuki, Nakagawa Masahiro

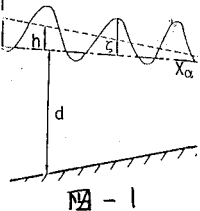


図-1

$$\frac{\partial}{\partial x} \{ E(U + C_g) \} = -\frac{1}{2} P f_{cw} \sqrt{|U + U_m \cos \omega t|^3 - U^2 (U + U_m \cos \omega t) |U + U_m \cos \omega t|} \quad \dots (6)$$

$$(\frac{1}{2} P U^3 + P g U d) \frac{\partial^2 h}{\partial x^2} + \frac{3}{2} P d U^2 \frac{\partial^2 U}{\partial x^2} + \frac{1}{2} P d^3 \frac{\partial^3 d}{\partial x^3} + \frac{3}{2} P d^2 \frac{\partial^2 M}{\partial x^2} + U \frac{\partial^2 h}{\partial x^2} = -\frac{1}{2} P f_{cw} U \frac{\partial}{\partial x} (U + U_m \cos \omega t) \dots (7)$$

$|d| \geq U_m$  の場合、(6), (7) を解くと波高減衰率 ( $\alpha + \alpha'$ ) と波による平均水面の変化  $\partial h / \partial x$  が得られる。

$$\alpha = \frac{2\pi f_{cw}}{\sinh 2\beta (d + R)} \frac{|U|}{(U + C_g)} \quad \dots (9)$$

$$\alpha' = \frac{Lg}{2c(U + C_g)} \frac{\partial}{\partial x} (R + \frac{U^2}{2g}) \quad \dots (10)$$

ただし、 $H = H_0 \exp \{-(\alpha + \alpha') \frac{x}{L}\}$ ,  $H_0$  は  $x=0$  での波高  $H_0$

$$\frac{\partial h}{\partial x} = \frac{1}{gd - U^2} \left[ \frac{1}{2} f_{cw} (U^2 + \frac{1}{2} U_m^2) + U^2 \frac{\partial d}{\partial x} - \frac{3}{2} P \frac{\partial M}{\partial x} - \frac{1}{P} \frac{\partial S_{xx}}{\partial x} \right] \dots (11)$$

$|d| \leq U_m$  の場合、 $H$  の変化は指数関数とはならない。

4. 実験方法 実験は長さ 27m, 幅 50cm, 高さ 70cm の水槽で行い、波高計は 2.5m 間隔で 6 本または 3.0m 間隔で 5 本設置した。流速の測定は 7 口やラウ式流速計を行った。実験条件は表-1 に示す通りである。

5. 実験結果 波高減衰率として  $d$  のみを与え 理論値と実験値を比較すると、実験値は理論値よりかなり大きくなることがわかった。そこで、さらに  $(d + d')$  として理論値と実験値の比較を行ったが(図-2)、実験値は依然として理論値の 2 倍程度も大きいことがわかった。図-3 は共存場での平均水面勾配  $\partial h / \partial x$  の理論値と実験値を比較したもので、理論値は実験値の  $1/2$  ～  $1/4$  となっている。 $(d + d')$  と  $\partial h / \partial x$  の理論と実験の不一致の主な原因として、内部粘性や波の有限振幅性の効果などが考えられるが、底面摩擦によるエネルギー逸散の定常成分が波動の波高減衰にも寄与するためではないかと考えられる。

6. 結論 波高減衰率と共存場での平均水面勾配の理論値と実験値の不一致は、測定上の誤差では説明がつかず、むしろエネルギー逸散項の定常成分が流れの成分に非定常成分が波の成分に貢献するというエネルギー配分の理論的仮定に問題があるのではないかと考えられる。しかし、従来の沿岸流発生理論などでは、こうした仮定の下で理論展開されており、その意味で本研究は重要な問題提示をしたといえる。

参考文献: 1) Phillips, O. M.: The Dynamics of the Upper Ocean, 2nd Edition. Cambridge University Press, p.336, 1977.

2) 佐藤道郎: 破波後の波の波高変化に及ぼす平均水位の影響, 第31回海岸工学講演会論文集, pp. 35-38, 1984.

	$U$ (cm/sec)	T (sec)	$H_0$ (cm)
wave only	0.00	1.02 ~ 2.61	4.6 ~ 8.1
following current	5.65	1.02 ~ 2.53	4.7 ~ 8.6
	20.49	1.03 ~ 2.64	5.5 ~ 10.5
	31.88	1.03 ~ 2.33	2.3 ~ 8.0
opposite current	-7.78	1.03 ~ 2.60	3.7 ~ 9.4
	-21.33	0.93 ~ 3.00	4.6 ~ 11.0
	-31.88	1.20 ~ 2.52	5.3 ~ 7.9

(i : incident)

表-1

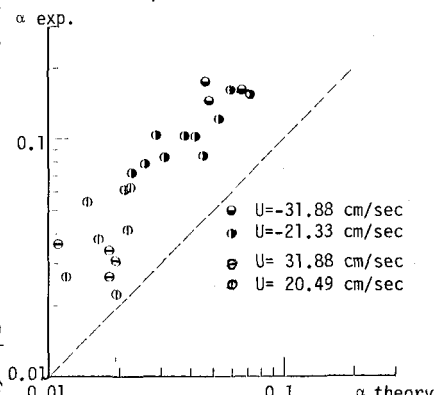


図-2

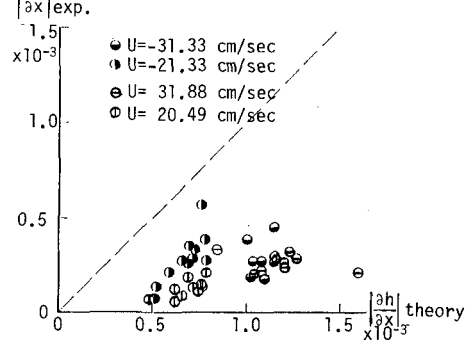


図-3